

Quantification d'incertitudes et de robustesse via prédiction conforme

D. L. Razafindrakoto^{1, 2} A. Celisse² J. Lacaille¹

¹Safran Aircraft Engines

²SAMM, Université Paris 1 Panthéon-Sorbonne

Introduction à la recherche en apprentissage statistique, 9 Janvier 2026

Expérience en cours

- ▶ 2023-**2026**: Thèse CIFRE sur la “quantification d’incertitudes et de robustesse via prédiction conforme” chez Safran Aircraft Engines en collaboration avec le SAMM sous la direction de Jérôme Lacaille et Alain Celisse.
- ▶ 2023-2023: Stage de fin d’études sur la “quantification d’incertitudes” chez Safran Aircraft Engines sous l’encadrement de Jérôme Lacaille et Jean Coussirou.

Parcours

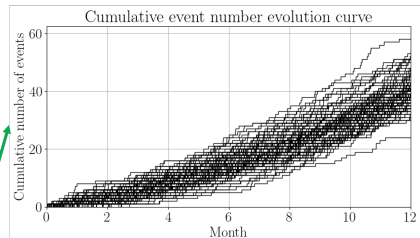
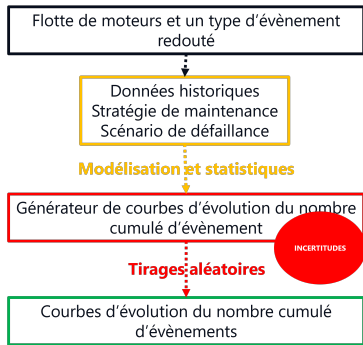
Expérience en cours

- ▶ 2023-**2026**: Thèse CIFRE sur la “quantification d’incertitudes et de robustesse via prédiction conforme” chez Safran Aircraft Engines en collaboration avec le SAMM sous la direction de Jérôme Lacaille et Alain Celisse.
- ▶ 2023-2023: Stage de fin d’études sur la “quantification d’incertitudes” chez Safran Aircraft Engines sous l’encadrement de Jérôme Lacaille et Jean Coussirou.

Formation

- ▶ 2020-2023: Diplôme d’ingénieur en Mathématiques Appliquées à SupGalilée (Université Sorbonne Paris Nord).
- ▶ 2022-2023: Master en Mathématiques des données à l’Université Sorbonne Paris Nord.
- ▶ 2022-2022: Mobilité ERASMUS à l’Université Technique de Munich (TUM).
- ▶ 2018-2021: Licence Mathématiques à l’Université Sorbonne Paris Nord.

Contexte métier



100 tirages de courbes d'évolution du nombre cumulé d'événements

Figure: Comment les courbes sont générées?

Tube de confiance instant par instant

- ▶ Données: $\xi_1, \dots, \xi_n, \xi_{n+1}$ des variables aléatoires indépendantes identiquement distribuées à valeur dans $\{0, \dots, K\}^{T+1}$ où K et T sont des entiers plus grands que 1.

Tube de confiance instant par instant

- ▶ Données: ξ_1, \dots, ξ_n , ξ_{n+1} des variables aléatoires indépendantes identiquement distribuées à valeur dans $\{0, \dots, K\}^{T+1}$ où K et T sont des entiers plus grands que 1.

Premier objectif

Pour tout niveau de contrôle de confiance $\alpha \in (0, 1)$, **calculer** un tube de confiance $\hat{B}_\alpha \subseteq \{0, \dots, K\}^{T+1}$ tel que pour tout instant $t \in \{0, \dots, T\}$,

$$\mathbb{P}\left[\xi_{n+1}^{(t)} \in \hat{B}_\alpha^{(t)}\right] \geq 1 - \alpha,$$

à partir des données observées ξ_1, \dots, ξ_n .

Tube de confiance instant par instant

- ▶ Données: ξ_1, \dots, ξ_n , ξ_{n+1} des variables aléatoires indépendantes identiquement distribuées à valeur dans $\{0, \dots, K\}^{T+1}$ où K et T sont des entiers plus grands que 1.

Premier objectif

Pour tout niveau de contrôle de confiance $\alpha \in (0, 1)$, calculer un tube de confiance $\hat{B}_\alpha \subseteq \{0, \dots, K\}^{T+1}$ tel que pour tout instant $t \in \{0, \dots, T\}$,

$$\mathbb{P}\left[\xi_{n+1}^{(t)} \in \hat{B}_\alpha^{(t)}\right] \geq 1 - \alpha,$$

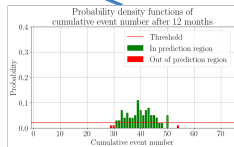
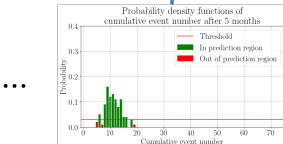
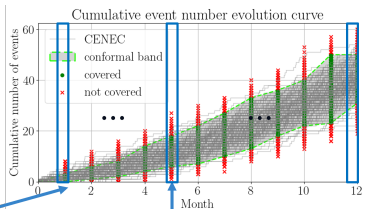
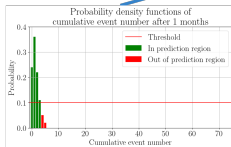
à partir des données observées ξ_1, \dots, ξ_n .

Solution

Prédiction conforme: Vovk, Gammerman, and Shafer (2005).

Méthodes et résultats

Le seuil est $1/n_{train}$ plus bas est que le seuil choisi pour que la somme des probabilités en vert dépasse $(1 - \alpha) \left(1 + \frac{1}{n_{train}}\right)$.



Les intervalles sont asymptotiquement optimaux mais peuvent être discontinus.

Figure: Tube de confiance avec un score de conformité basé sur la densité empirique.

Méthodes et résultats

Les **seuils** sont choisis d'une façon analogue aux cas où la fonction de répartition est connue, moyennant des corrections.

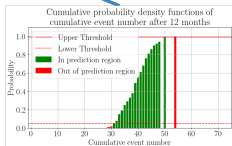
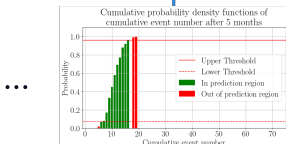
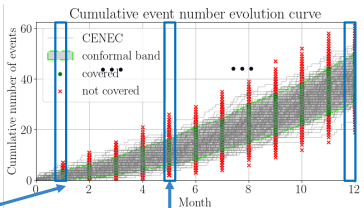
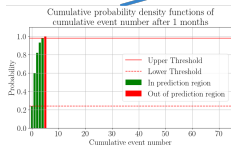


Figure: Tube de confiance avec un score de conformité basé sur la fonction de répartition empirique.

Les intervalles sont continus mais asymptotiquement optimaux seulement pour distributions unimodales (symétriques).

Tube de confiance simultané

- ▶ Données: $\xi_1, \dots, \xi_n, \xi_{n+1}$ des variables aléatoires indépendantes identiquement distribuées à valeur dans $\{0, \dots, K\}^{T+1}$ où K et T sont des entiers plus grands que 1.

Tube de confiance simultané

- ▶ Données: ξ_1, \dots, ξ_n , ξ_{n+1} des variables aléatoires indépendantes identiquement distribuées à valeur dans $\{0, \dots, K\}^{T+1}$ où K et T sont des entiers plus grands que 1.

Deuxième objectif

Pour tout niveau de contrôle de confiance $\alpha \in (0, 1)$, et pour tout niveau $\gamma \in (0, 1)$, calculer un tube de confiance $\hat{B}_{\alpha; \gamma} \subseteq \{0, \dots, K\}^{T+1}$ tel que

$$\mathbb{P} \left[\frac{\left| \left\{ t \in \{0, \dots, T\} : \xi_{n+1}^{(t)} \in \hat{B}_{\alpha; \gamma}^{(t)} \right\} \right|}{T+1} \geq 1 - \gamma \right] \geq 1 - \alpha,$$

à partir des données observées ξ_1, \dots, ξ_n .

Tube de confiance simultané

- ▶ Données: ξ_1, \dots, ξ_n , ξ_{n+1} des variables aléatoires indépendantes et identiquement distribuées à valeur dans $\{0, \dots, K\}^{T+1}$ où K et T sont des entiers plus grands que 1.

Deuxième objectif

Pour tout niveau de contrôle de confiance $\alpha \in (0, 1)$, et pour tout niveau $\gamma \in (0, 1)$, calculer un tube de confiance $\hat{B}_{\alpha; \gamma} \subseteq \{0, \dots, K\}^{T+1}$ tel que

$$\mathbb{P} \left[\frac{\left| \left\{ t \in \{0, \dots, T\} : \xi_{n+1}^{(t)} \in \hat{B}_{\alpha; \gamma}^{(t)} \right\} \right|}{T+1} \geq 1 - \gamma \right] \geq 1 - \alpha,$$

à partir des données observées ξ_1, \dots, ξ_n .

Solution

Prédiction conforme: Papadopoulos (2008).

Méthode

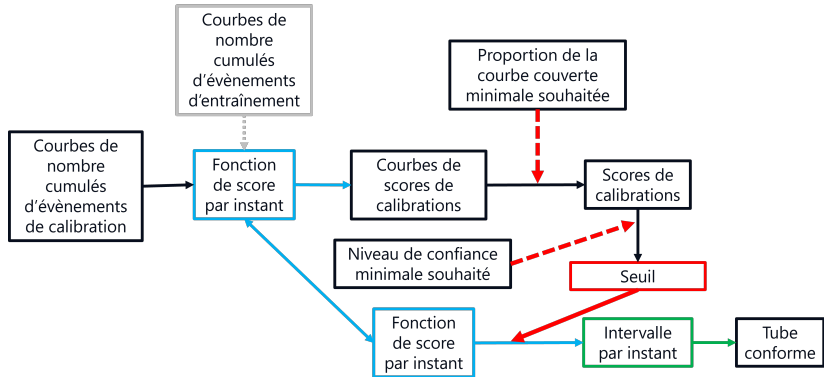


Figure: Schéma du calcul du tube de confiance simultané.

Contexte méthode

- ▶ Données: $(X_1, Y_1), \dots, (X_n, Y_n), (X_{n+1}, Y_{n+1})$ variables aléatoires échangeables à valeur dans $\mathcal{X} \times \mathcal{Y}$ avec $\mathcal{X} \subseteq \mathbb{R}^p$ et $\mathcal{Y} \subseteq \mathbb{R}$.
- ▶ Tâche (régression): trouver un prédicteur $\hat{f} \in \mathcal{H}$ tel que $Y_{n+1} \approx \hat{f}(X_{n+1})$, où l'espace d'hypothèse \mathcal{H} est un RKHS avec une fonction de noyau connue $k(\cdot, \cdot) : \mathcal{X} \times \mathcal{X} \mapsto \mathbb{R}$.

Contexte méthode

- ▶ Données: $(X_1, Y_1), \dots, (X_n, Y_n), (X_{n+1}, Y_{n+1})$ variables aléatoires échangeables à valeur dans $\mathcal{X} \times \mathcal{Y}$ avec $\mathcal{X} \subseteq \mathbb{R}^p$ et $\mathcal{Y} \subseteq \mathbb{R}$.
- ▶ Tâche (régression): trouver un prédicteur $\hat{f} \in \mathcal{H}$ tel que $Y_{n+1} \approx \hat{f}(X_{n+1})$, où l'espace d'hypothèse \mathcal{H} est un RKHS avec une fonction de noyau connue $k(\cdot, \cdot) : \mathcal{X} \times \mathcal{X} \mapsto \mathbb{R}$.

Objectif

Pour tout niveau de contrôle de confiance $\alpha \in (0, 1)$, **calculer** un intervalle de prédiction $\hat{C}_\alpha(X_{n+1}) \subset \mathcal{Y}$ tel que

$$\mathbb{P} \left[Y_{n+1} \in \hat{C}_\alpha(X_{n+1}) \right] \geq 1 - \alpha,$$

à partir des données observées $(X_1, Y_1), \dots, (X_n, Y_n)$, de l'entrée test X_{n+1} et de l'espace d'hypothèse \mathcal{H} .

Contexte méthode

- ▶ Données: $(X_1, Y_1), \dots, (X_n, Y_n), (X_{n+1}, Y_{n+1})$ variables aléatoires échangeables à valeur dans $\mathcal{X} \times \mathcal{Y}$ avec $\mathcal{X} \subseteq \mathbb{R}^p$ et $\mathcal{Y} \subseteq \mathbb{R}$.
- ▶ Tâche (régression): trouver un prédicteur $\hat{f} \in \mathcal{H}$ tel que $Y_{n+1} \approx \hat{f}(X_{n+1})$, où l'espace d'hypothèse \mathcal{H} est un RKHS avec une fonction de noyau connue $k(\cdot, \cdot) : \mathcal{X} \times \mathcal{X} \mapsto \mathbb{R}$.

Objectif

Pour tout niveau de contrôle de confiance $\alpha \in (0, 1)$, **calculer** un intervalle de prédiction $\hat{C}_\alpha(X_{n+1}) \subset \mathcal{Y}$ tel que

$$\mathbb{P} \left[Y_{n+1} \in \hat{C}_\alpha(X_{n+1}) \right] \geq 1 - \alpha,$$

à partir des données observées $(X_1, Y_1), \dots, (X_n, Y_n)$, de l'entrée test X_{n+1} et de l'espace d'hypothèse \mathcal{H} .

Solution

Prédiction conforme: Vovk, Gammerman, and Shafer (2005).

Prédiction “full” conforme

Scores de non-conformités

Pour toute valeur de sortie $y \in \mathcal{Y}$ et pour tout $i \in \{1, \dots, n+1\}$, étant donné le jeu de données D^y contenant les données observées $(X_1, Y_1), \dots, (X_n, Y_n)$, et la donnée de test augmentée (X_{n+1}, y) ,

$$S_{D^y}(X_i, Y_i) := s(Y_i, \hat{f}_{D^y}(X_i)), \quad \text{if } 1 \leq i \leq n,$$
$$S_{D^y}(X_i, y) := s(y, \hat{f}_{D^y}(X_i)), \quad \text{if } i = n+1,$$

où $s(\cdot, \cdot) : \mathcal{Y} \times \mathcal{Y} \rightarrow \mathbb{R}$ est une fonction de non-conformité, et $\hat{f}_{D^y} \in \mathcal{H}$ est un prédicteur entraîné sur le jeu de donnée D^y .

Prédiction “full” conforme

Scores de non-conformités

Pour toute valeur de sortie $\mathbf{y} \in \mathcal{Y}$ et pour tout $i \in \{1, \dots, n+1\}$, étant donné le jeu de données $D^{\mathbf{y}}$ contenant les données observées $(X_1, Y_1), \dots, (X_n, Y_n)$, et la donnée de test augmentée (X_{n+1}, \mathbf{y}) ,

$$S_{D^{\mathbf{y}}} (X_i, Y_i) := s \left(Y_i, \hat{f}_{D^{\mathbf{y}}} (X_i) \right), \quad \text{if } 1 \leq i \leq n,$$
$$S_{D^{\mathbf{y}}} (X_i, \mathbf{y}) := s \left(\mathbf{y}, \hat{f}_{D^{\mathbf{y}}} (X_i) \right), \quad \text{if } i = n+1,$$

où $s(\cdot, \cdot) : \mathcal{Y} \times \mathcal{Y} \rightarrow \mathbb{R}$ est une fonction de non-conformité, et $\hat{f}_{D^{\mathbf{y}}} \in \mathcal{H}$ est un prédicteur entraîné sur le jeu de donnée $D^{\mathbf{y}}$.

Intervalle de prédiction conforme (Vovk, Gammerman, and Shafer, 2005)

Pour tout niveau de contrôle de confiance $\alpha \in (0, 1)$,

$$\hat{C}_{\alpha}^{\text{full}} (X_{n+1}) := \left\{ \mathbf{y} \in \mathcal{Y} : \frac{1 + \sum_{i=1}^n \mathbb{1} \{ S_{D^{\mathbf{y}}} (X_i, Y_i) \geq S_{D^{\mathbf{y}}} (X_{n+1}, \mathbf{y}) \}}{n+1} > \alpha \right\}.$$

Si les scores de non-conformités sont échangeables, et presque sûrement distincts alors

$$1 - \alpha \leq \mathbb{P} \left[Y_{n+1} \in \hat{C}_{\alpha}^{\text{full}} (X_{n+1}) \right] \leq 1 - \alpha + \frac{1}{n+1}.$$

Prédiction “full” conforme

Scores de non-conformités

Pour toute valeur de sortie $y \in \mathcal{Y}$ et pour tout $i \in \{1, \dots, n+1\}$, étant donné le jeu de données D^y contenant les données observées $(X_1, Y_1), \dots, (X_n, Y_n)$, et la donnée de test augmentée (X_{n+1}, y) ,

$$S_{D^y}(X_i, Y_i) := s(Y_i, \hat{f}_{D^y}(X_i)), \quad \text{if } 1 \leq i \leq n,$$
$$S_{D^y}(X_i, y) := s(y, \hat{f}_{D^y}(X_i)), \quad \text{if } i = n+1,$$

où $s(\cdot, \cdot) : \mathcal{Y} \times \mathcal{Y} \rightarrow \mathbb{R}$ est une fonction de non-conformité, et $\hat{f}_{D^y} \in \mathcal{H}$ est un prédicteur entraîné sur le jeu de donnée D^y .

Intervalle de prédiction conforme (Vovk, Gammerman, and Shafer, 2005)

Pour tout niveau de contrôle de confiance $\alpha \in (0, 1)$,

$$\hat{C}_\alpha^{\text{full}}(X_{n+1}) := \left\{ y \in \mathcal{Y} : \frac{1 + \sum_{i=1}^n \mathbb{1}\{S_{D^y}(X_i, Y_i) \geq S_{D^y}(X_{n+1}, y)\}}{n+1} > \alpha \right\}.$$

Si les scores de non-conformités sont échangeables, et presque sûrement distincts alors

$$1 - \alpha \leq \mathbb{P}\left[Y_{n+1} \in \hat{C}_\alpha^{\text{full}}(X_{n+1})\right] \leq 1 - \alpha + \frac{1}{n+1}.$$

- **Difficulté:** Trop couteux à calculer car il faudrait entraîner autant de prédicteurs que de valeurs de sortie.

Comment faire une approximation?

Scores de non-conformités approchés

Pour toute valeur de sortie $y \in \mathcal{Y}$ et tout $i \in \{1, \dots, n+1\}$,

$$\tilde{S}_{D^y}^{\text{lo}}(X_i, Y_i) \leq S_{D^y}(X_i, Y_i) \leq \tilde{S}_{D^y}^{\text{up}}(X_i, Y_i) \quad \text{if } 1 \leq i \leq n,$$

$$\tilde{S}_{D^y}^{\text{lo}}(X_i, y) \leq S_{D^y}(X_i, y) \leq \tilde{S}_{D^y}^{\text{up}}(X_i, y) \quad \text{if } i = n+1.$$

Comment faire une approximation?

Scores de non-conformités approchés

Pour toute valeur de sortie $y \in \mathcal{Y}$ et tout $i \in \{1, \dots, n+1\}$,

$$\begin{aligned}\tilde{S}_{D^y}^{\text{lo}}(X_i, Y_i) &\leq S_{D^y}(X_i, Y_i) \leq \tilde{S}_{D^y}^{\text{up}}(X_i, Y_i) && \text{if } 1 \leq i \leq n, \\ \tilde{S}_{D^y}^{\text{lo}}(X_i, y) &\leq S_{D^y}(X_i, y) \leq \tilde{S}_{D^y}^{\text{up}}(X_i, y) && \text{if } i = n+1.\end{aligned}$$

Intervalle de prédiction “Full” conforme approché (Ndiaye, 2022)

Pour tout niveau de contrôle de confiance $\alpha \in (0, 1)$,

$$\begin{aligned}\tilde{C}_\alpha^{\text{up}}(X_{n+1}) &:= \left\{ y \in \mathcal{Y} : \frac{1 + \sum_{i=1}^n \mathbb{1} \left\{ \tilde{S}_{D^y}^{\text{up}}(X_i, Y_i) \geq \tilde{S}_{D^y}^{\text{lo}}(X_{n+1}, y) \right\}}{n+1} > \alpha \right\} \supseteq \hat{C}_\alpha^{\text{full}}(X_{n+1}) \\ &\supseteq \left\{ y \in \mathcal{Y} : \frac{1 + \sum_{i=1}^n \mathbb{1} \left\{ \tilde{S}_{D^y}^{\text{lo}}(X_i, Y_i) \geq \tilde{S}_{D^y}^{\text{up}}(X_{n+1}, y) \right\}}{n+1} > \alpha \right\} =: \tilde{C}_\alpha^{\text{lo}}(X_{n+1}).\end{aligned}$$

Comment faire une approximation?

Scores de non-conformités approchés

Pour toute valeur de sortie $y \in \mathcal{Y}$ et tout $i \in \{1, \dots, n+1\}$,

$$\begin{aligned}\tilde{S}_{D^y}^{\text{lo}}(X_i, Y_i) &\leq S_{D^y}(X_i, Y_i) \leq \tilde{S}_{D^y}^{\text{up}}(X_i, Y_i) && \text{if } 1 \leq i \leq n, \\ \tilde{S}_{D^y}^{\text{lo}}(X_i, y) &\leq S_{D^y}(X_i, y) \leq \tilde{S}_{D^y}^{\text{up}}(X_i, y) && \text{if } i = n+1.\end{aligned}$$

Intervalle de prédition “Full” conforme approché (Ndiaye, 2022)

Pour tout niveau de contrôle de confiance $\alpha \in (0, 1)$,

$$\begin{aligned}\tilde{C}_\alpha^{\text{up}}(X_{n+1}) &:= \left\{ y \in \mathcal{Y} : \frac{1 + \sum_{i=1}^n \mathbb{1} \left\{ \tilde{S}_{D^y}^{\text{up}}(X_i, Y_i) \geq \tilde{S}_{D^y}^{\text{lo}}(X_{n+1}, y) \right\}}{n+1} > \alpha \right\} \supseteq \hat{C}_\alpha^{\text{full}}(X_{n+1}) \\ &\supseteq \left\{ y \in \mathcal{Y} : \frac{1 + \sum_{i=1}^n \mathbb{1} \left\{ \tilde{S}_{D^y}^{\text{lo}}(X_i, Y_i) \geq \tilde{S}_{D^y}^{\text{up}}(X_{n+1}, y) \right\}}{n+1} > \alpha \right\} =: \tilde{C}_\alpha^{\text{lo}}(X_{n+1}).\end{aligned}$$

Il en résulte que

$$\mathcal{L} \left(\tilde{C}_\alpha^{\text{up}}(X_{n+1}) \setminus \hat{C}_\alpha^{\text{full}}(X_{n+1}) \right) \leq \mathcal{L} \left(\tilde{C}_\alpha^{\text{up}}(X_{n+1}) \setminus \tilde{C}_\alpha^{\text{lo}}(X_{n+1}) \right).$$

Résultats

- ▶ Prédicteur: Pour un paramètre de régularisation $\lambda \in (0, +\infty)$, un jeu donnée D , et une fonction de perte $\ell(\cdot, \cdot) : \mathcal{Y} \times \mathcal{Y} \mapsto \mathbb{R}$,

$$\hat{f}_D \in \arg \min_{f \in \mathcal{H}} \frac{1}{|D|} \sum_{(x,y)} \ell(y, f(x)) + \lambda \|f\|_{\mathcal{H}}^2.$$

Résultats

- ▶ Prédicteur: Pour un paramètre de régularisation $\lambda \in (0, +\infty)$, un jeu donnée D , et une fonction de perte $\ell(\cdot, \cdot) : \mathcal{Y} \times \mathcal{Y} \mapsto \mathbb{R}$,

$$\hat{f}_D \in \arg \min_{f \in \mathcal{H}} \frac{1}{|D|} \sum_{(x,y)} \ell(y, f(x)) + \lambda \|f\|_{\mathcal{H}}^2.$$

Approximation via stabilité algorithmique

Calcul d'un intervalle approchant $\tilde{C}_{\alpha}^{\text{up},1}(X_{n+1})$ en remplaçant le prédicteur \hat{f}_{D^y} pour chaque valeur de sortie y par un seul prédicteur \hat{f}_{D^z} , tel que pour tout $\alpha \in (0, 1)$,

$$\mathcal{L}\left(\tilde{C}_{\alpha}^{\text{up},1}(X_{n+1}) \setminus \hat{C}_{\alpha}^{\text{full}}(X_{n+1})\right) \leq \mathcal{L}\left(\tilde{C}_{\alpha}^{\text{up},1}(X_{n+1}) \setminus \tilde{C}_{\alpha}^{\text{lo},1}(X_{n+1})\right) \leq O\left(\frac{1}{\lambda(n+1)}\right).$$

Résultats

- ▶ Prédicteur: Pour un paramètre de régularisation $\lambda \in (0, +\infty)$, un jeu donnée D , et une fonction de perte $\ell(\cdot, \cdot) : \mathcal{Y} \times \mathcal{Y} \mapsto \mathbb{R}$,

$$\hat{f}_D \in \arg \min_{f \in \mathcal{H}} \frac{1}{|D|} \sum_{(x, y)} \ell(y, f(x)) + \lambda \|f\|_{\mathcal{H}}^2.$$

Approximation via stabilité algorithmique

Calcul d'un intervalle approchant $\tilde{\mathcal{C}}_{\alpha}^{\text{up},1}(X_{n+1})$ en remplaçant le prédicteur \hat{f}_{D^y} pour chaque valeur de sortie y par un seul prédicteur \hat{f}_{D^z} , tel que pour tout $\alpha \in (0, 1)$,

$$\mathcal{L}\left(\tilde{\mathcal{C}}_{\alpha}^{\text{up},1}(X_{n+1}) \setminus \hat{C}_{\alpha}^{\text{full}}(X_{n+1})\right) \leq \mathcal{L}\left(\tilde{\mathcal{C}}_{\alpha}^{\text{up},1}(X_{n+1}) \setminus \tilde{\mathcal{C}}_{\alpha}^{\text{lo},1}(X_{n+1})\right) \leq O\left(\frac{1}{\lambda(n+1)}\right).$$

Approximation via fonction d'influence

Calcul d'un intervalle approchant $\tilde{\mathcal{C}}_{\alpha}^{\text{up},2}(X_{n+1})$ en remplaçant le prédicteur \hat{f}_{D^y} pour chaque valeur de sortie y par une approximation \tilde{f}_{D^y} ayant une expression connue, tel que pour tout $\alpha \in (0, 1)$,

$$\mathcal{L}\left(\tilde{\mathcal{C}}_{\alpha}^{\text{up},2}(X_{n+1}) \setminus \hat{C}_{\alpha}^{\text{full}}(X_{n+1})\right) \leq \mathcal{L}\left(\tilde{\mathcal{C}}_{\alpha}^{\text{up},2}(X_{n+1}) \setminus \tilde{\mathcal{C}}_{\alpha}^{\text{lo},2}(X_{n+1})\right) \leq O\left(\frac{1}{\lambda^3(n+1)^2}\right).$$

Conclusion

Récapitulatif

- ▶ Parcours.
- ▶ Calcul d'intervalle de prédiction “Full” conforme approché.
- ▶ Calcul de tubes de confiance.

Extension

- ▶ Calcul de région de prédiction pour la régression à sortie multivariée, et la classification multiclasse.
- ▶ Calcul de tubes de confiance sur la génération d'un modèle génératif de courbes.

Conclusion

Récapitulatif

- ▶ Parcours.
- ▶ Calcul d'intervalle de prédiction “Full” conforme approché.
- ▶ Calcul de tubes de confiance.

Extension

- ▶ Calcul de région de prédiction pour la régression à sortie multivariée, et la classification multiclasse.
- ▶ Calcul de tubes de confiance sur la génération d'un modèle génératif de courbes.

Merci beaucoup pour votre attention!

Références

- [1] Eugene Ndiaye. "Stable conformal prediction sets". In: *International Conference on Machine Learning*. PMLR. 2022, pp. 16462–16479.
- [2] Harris Papadopoulos. "Inductive conformal prediction: Theory and application to neural networks". In: *Tools in artificial intelligence*. Citeseer, 2008.
- [3] Vladimir Vovk, Alexander Gammerman, and Glenn Shafer. *Algorithmic learning in a random world*. Vol. 29. Springer, 2005.